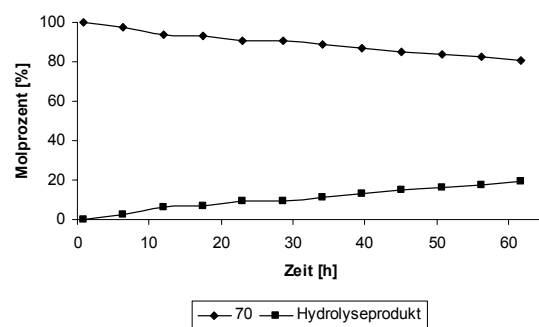
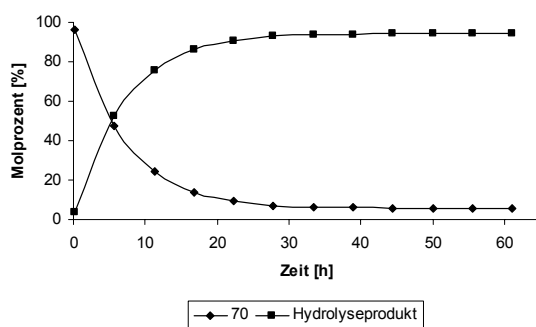
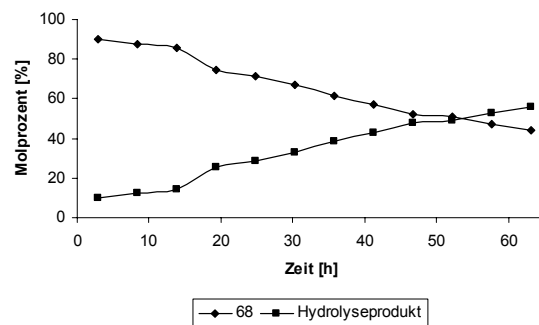
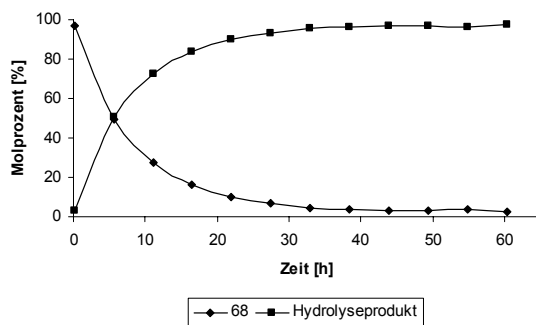
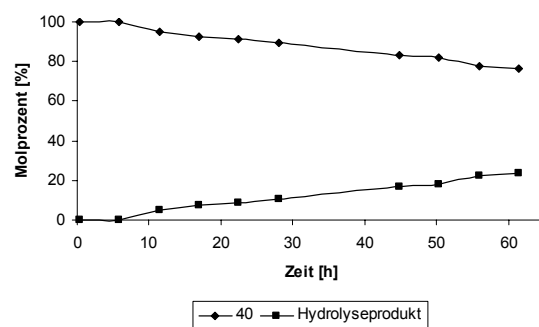
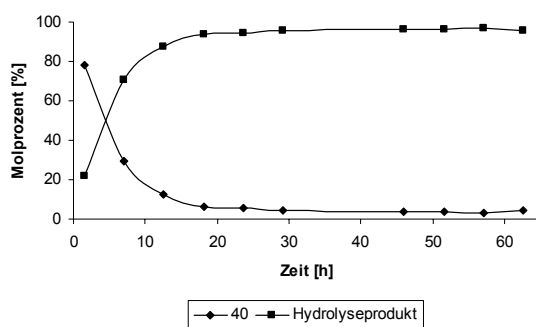


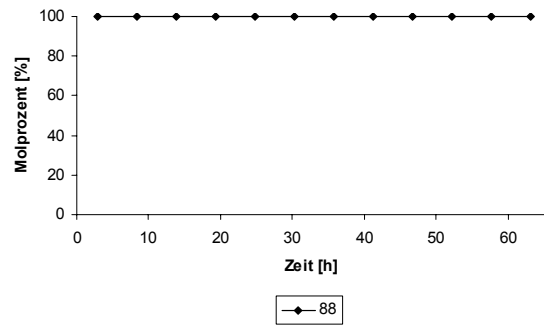
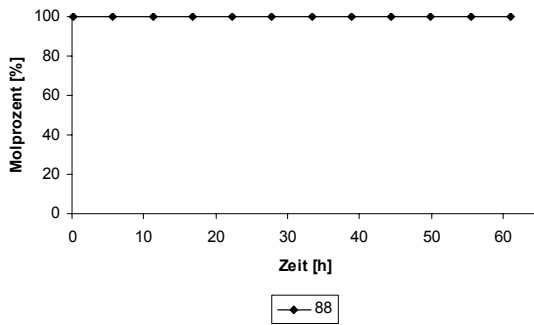
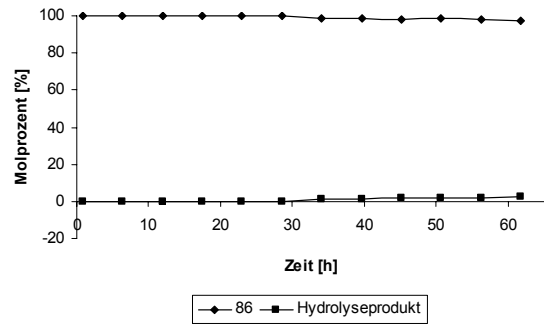
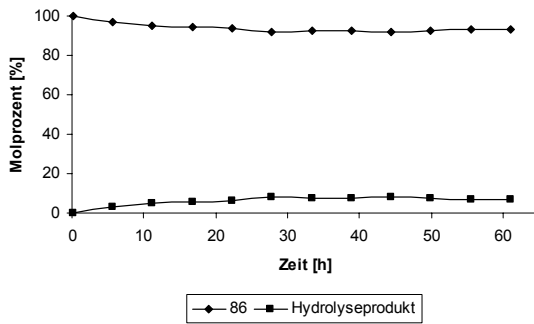
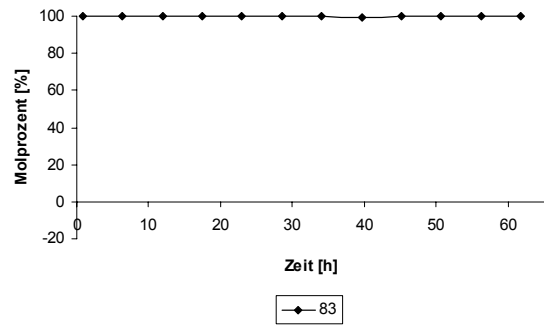
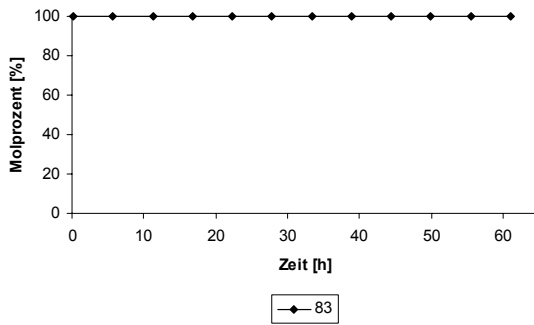
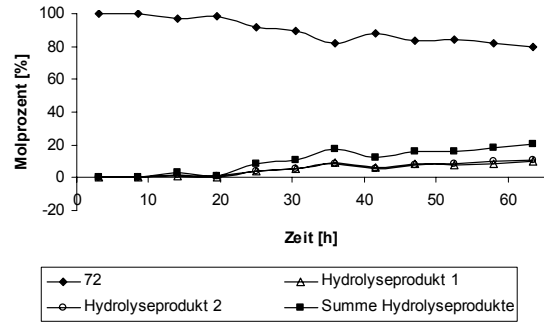
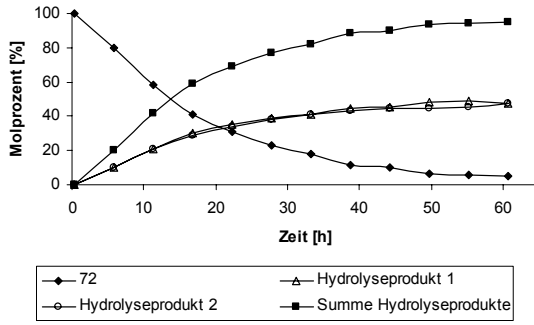
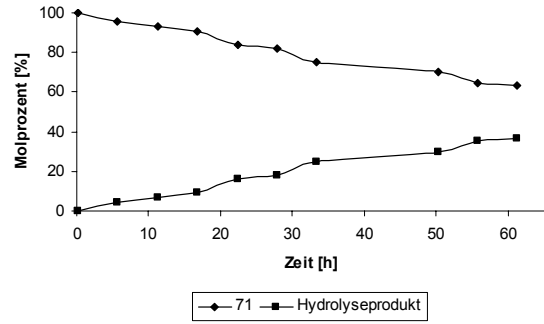
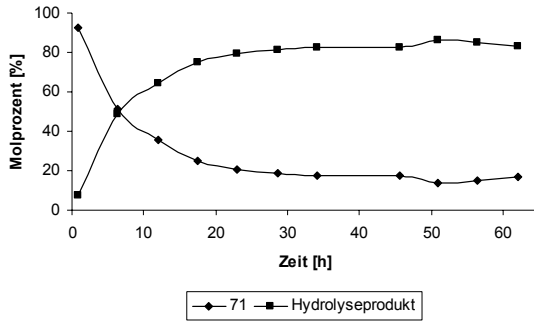
| Anhang |

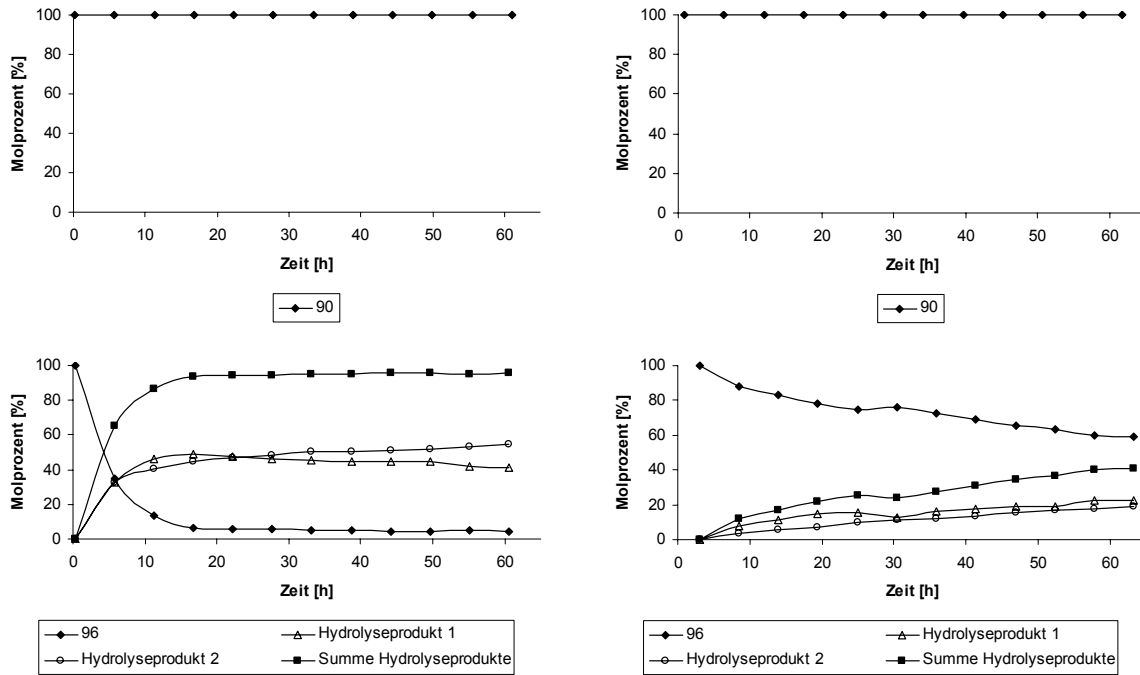
9 Anhang

9.1 Hydrolyseverlauf der Verbindungen in den HPLC-Untersuchungen

Der zeitliche Verlauf der Hydrolyse der untersuchten Verbindungen ist im Folgenden dargestellt. Links sind die Kurven der Untersuchungen in PBS dargestellt. Rechts sind die Kurven der Hydrolyse in H₂O abgebildet.



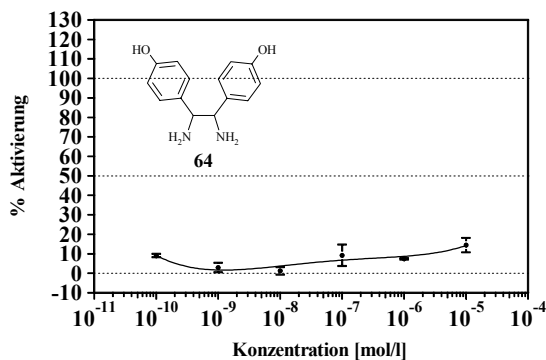


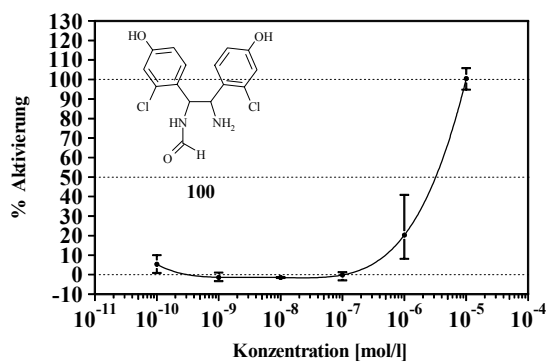
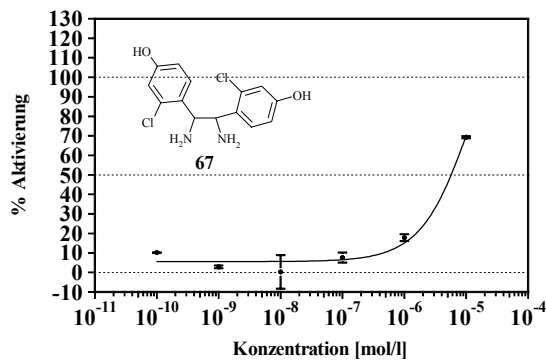
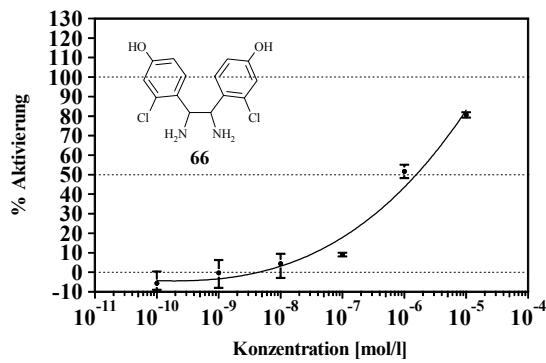
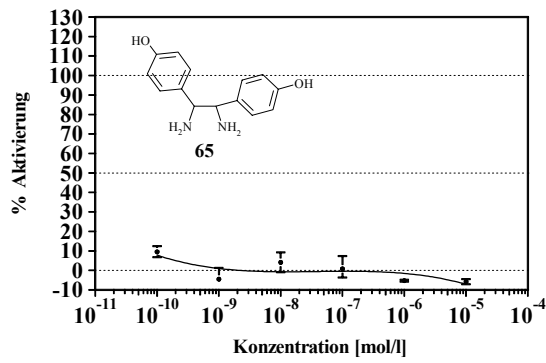


9.2 Konzentrations-Wirkungskurven der Verbindungen an der MCF-7-2a Zelllinie

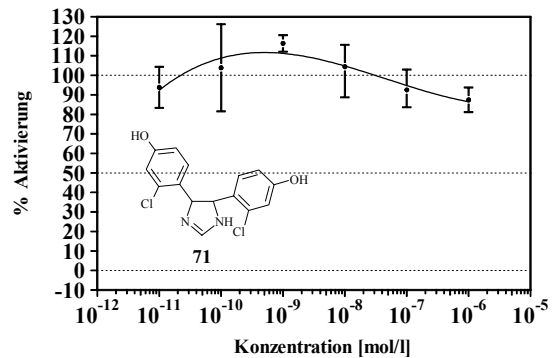
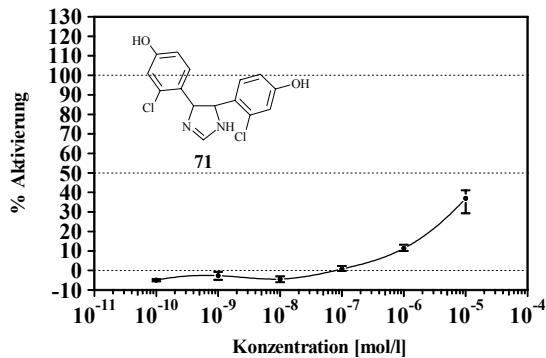
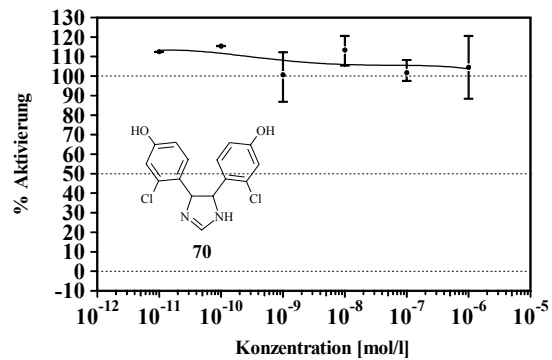
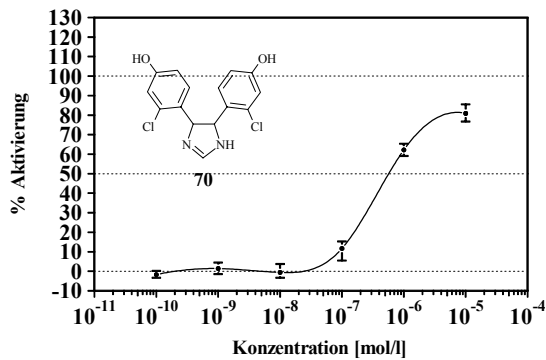
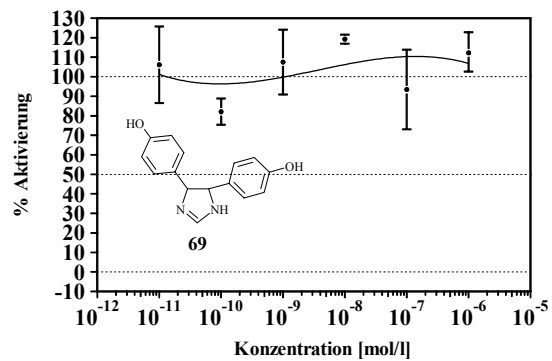
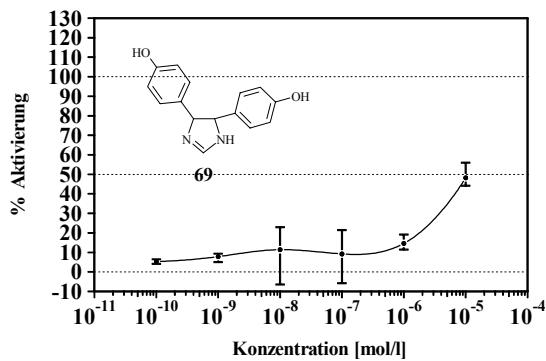
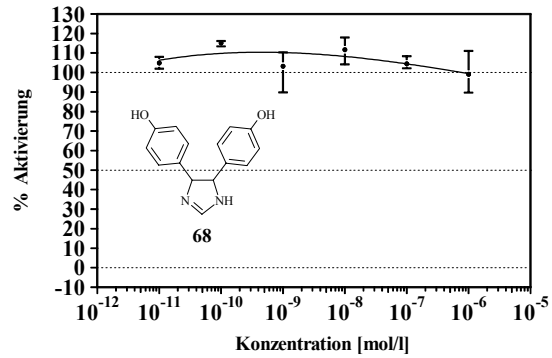
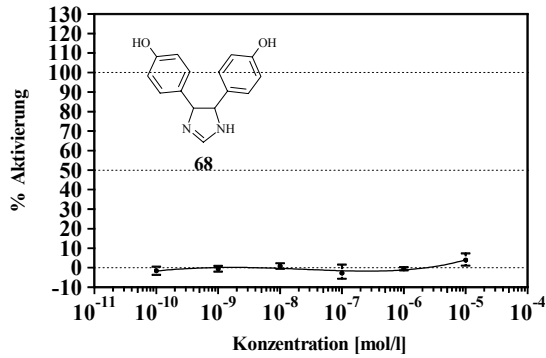
Links sind die Konzentrations-Wirkungskurven der estrogenen Wirkung dargestellt. Rechts die Konzentrations-Wirkungskurven der antiestrogenen Wirkung.

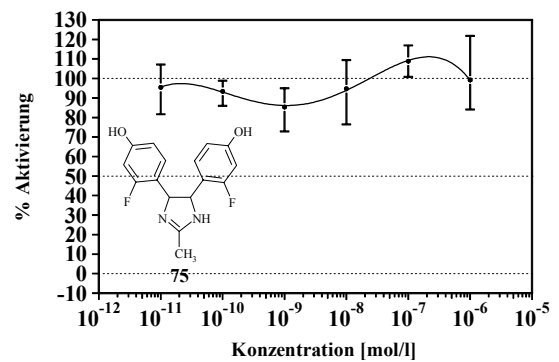
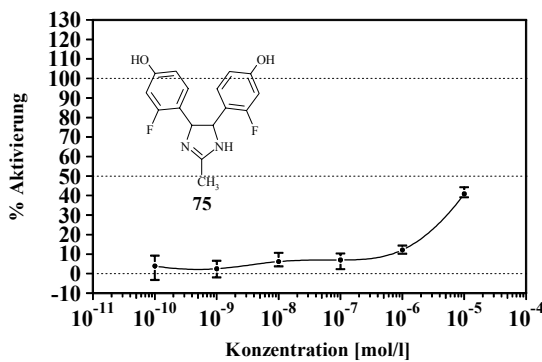
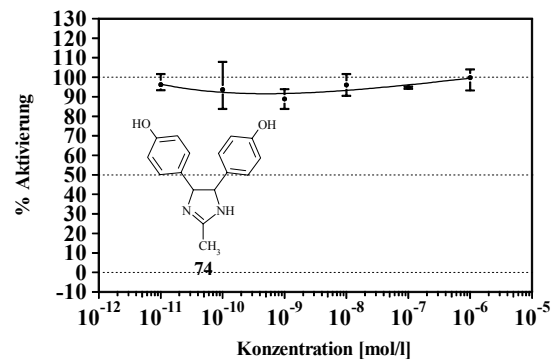
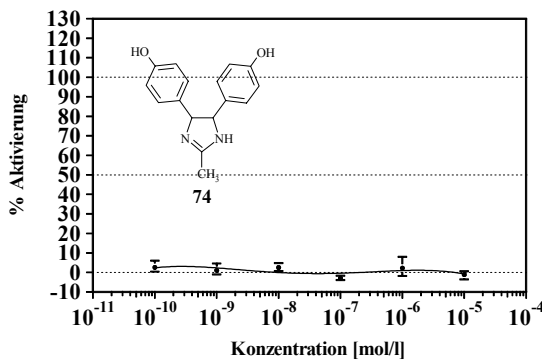
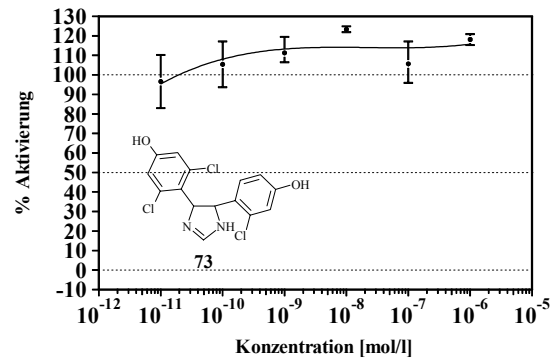
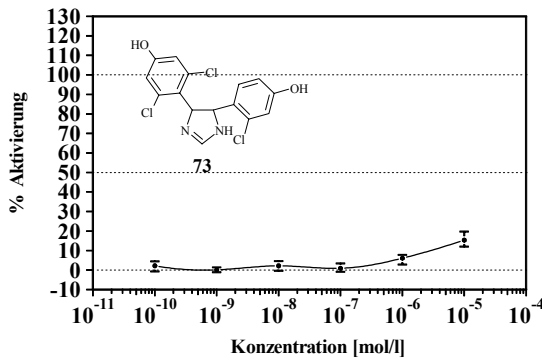
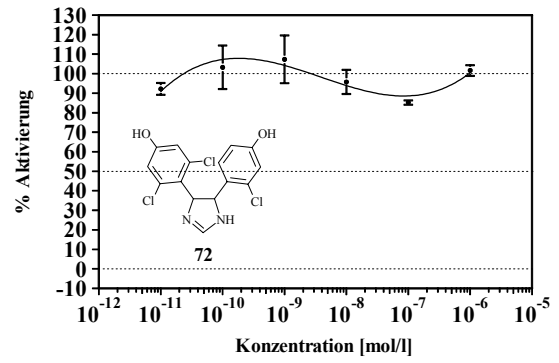
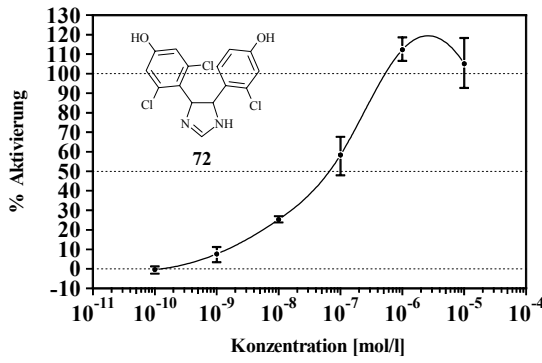
9.2.1 1,2-Diamino-1,2-diarylethane

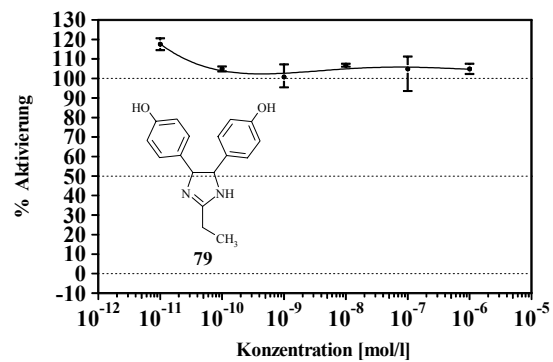
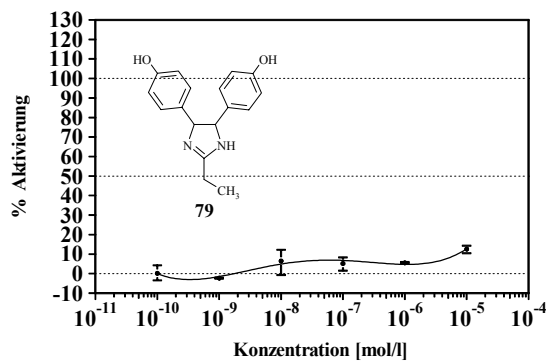
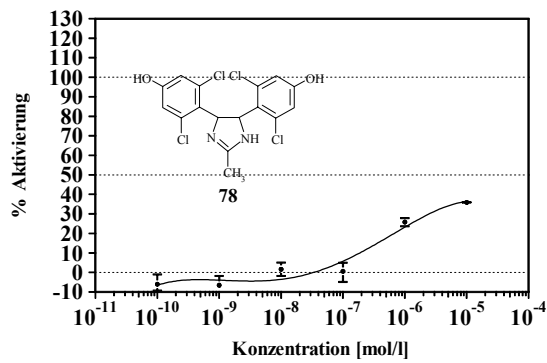
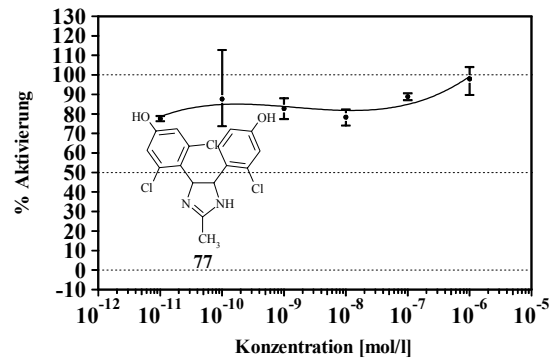
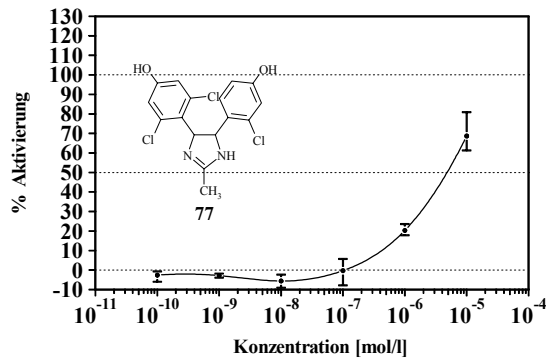
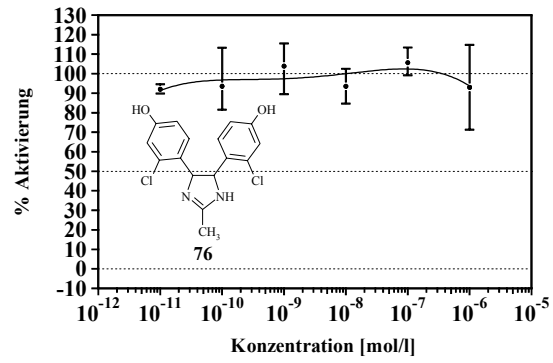
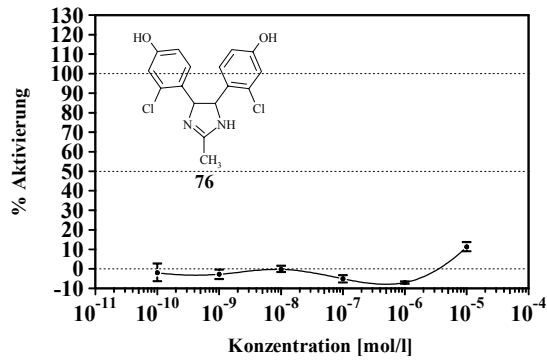


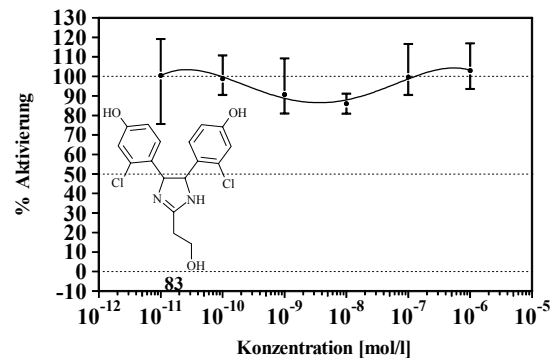
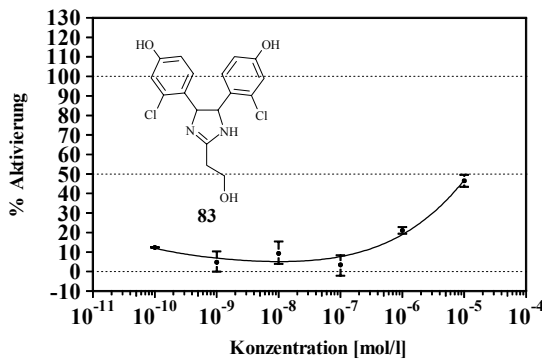
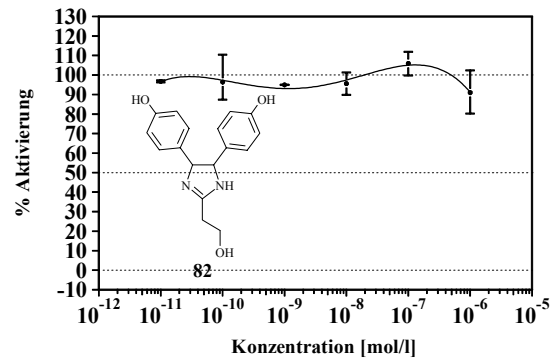
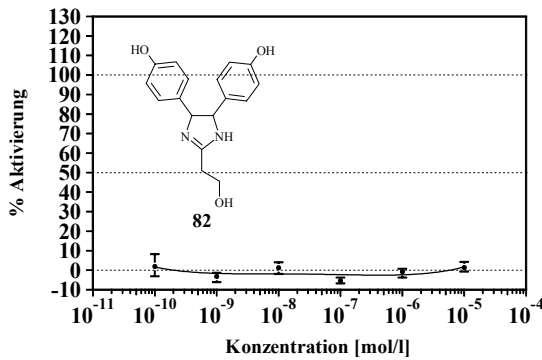
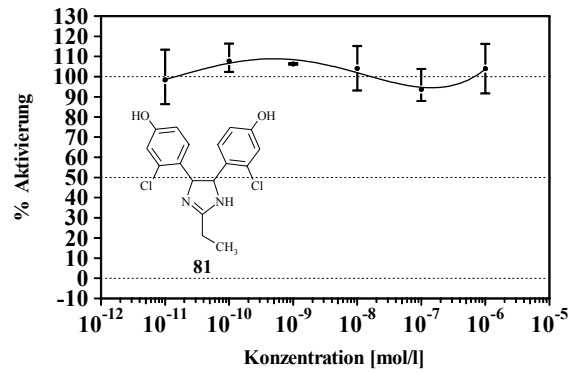
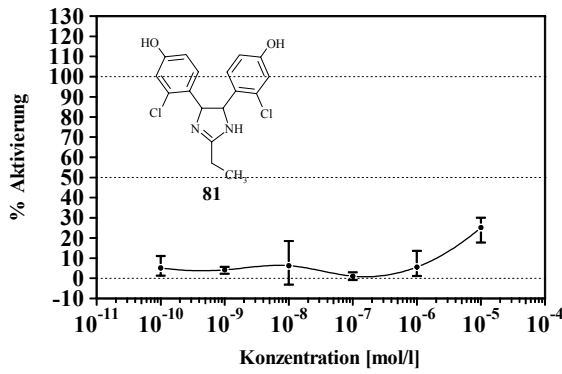
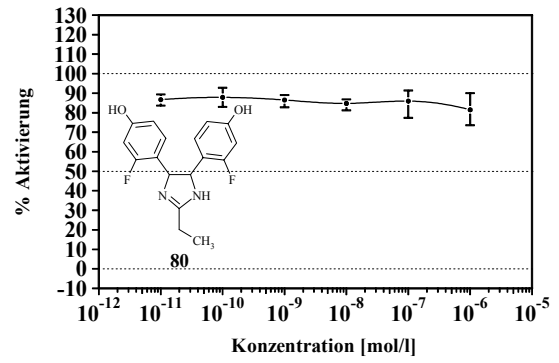
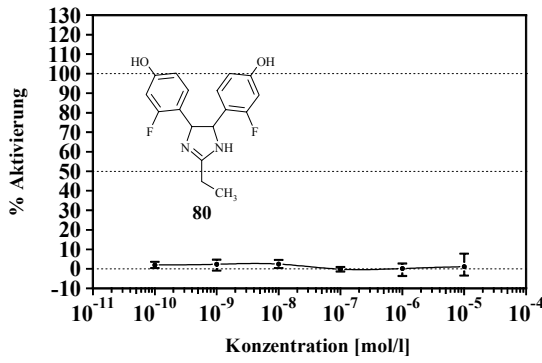


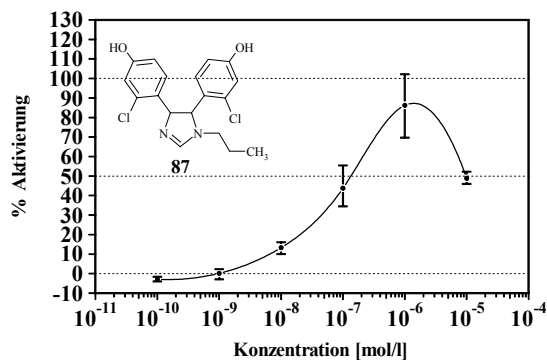
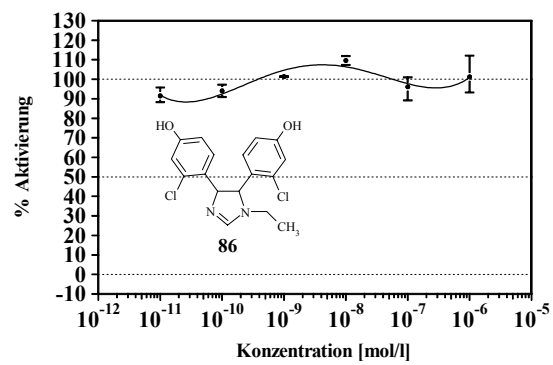
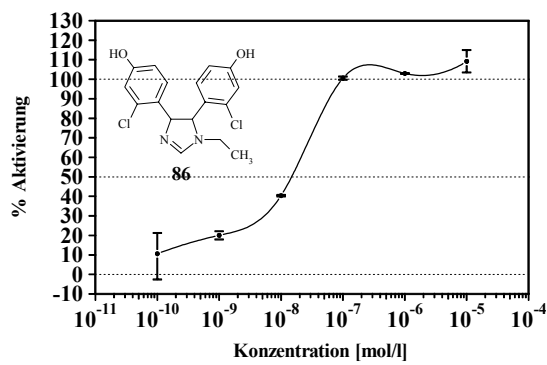
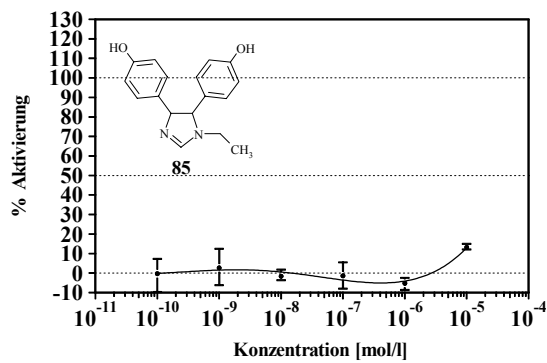
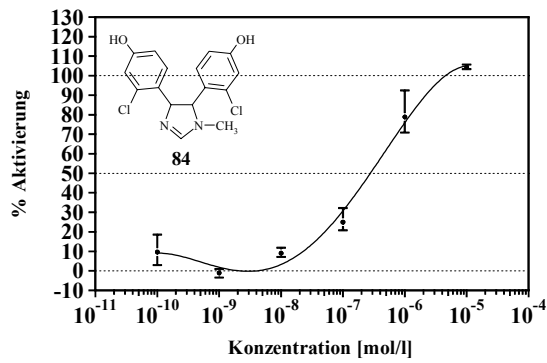
9.2.2 4,5-Diaryl-2-imidazoline und 1,3-Diethyl-4,5-diarylimidazoliniumbromid

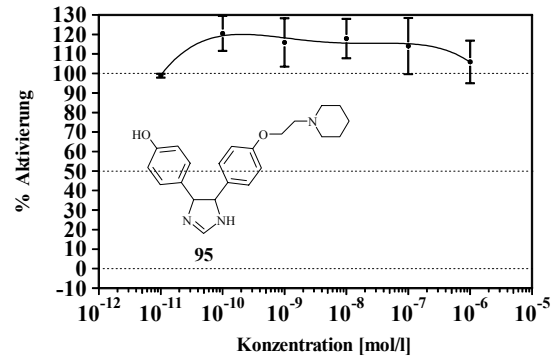
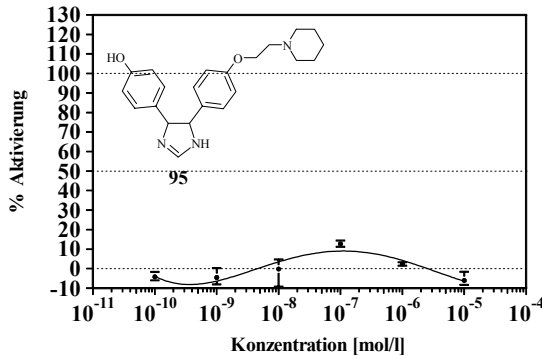
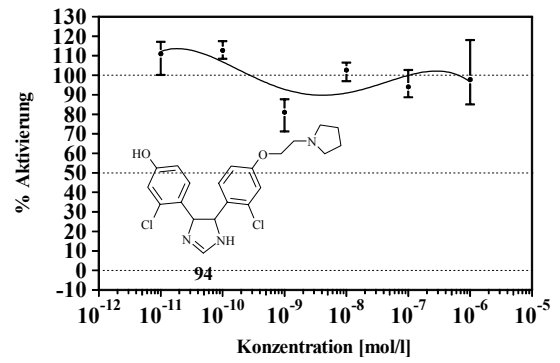
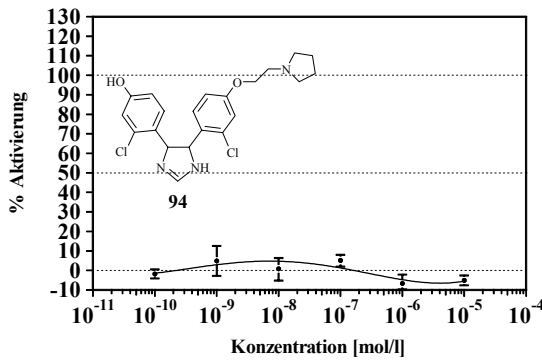
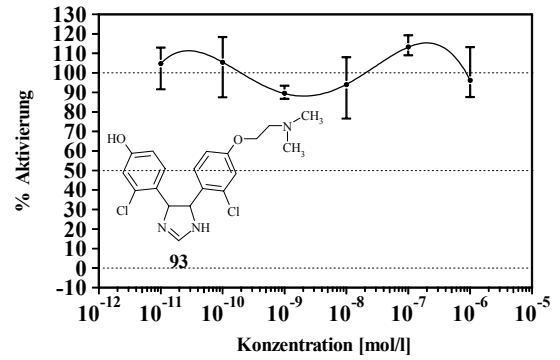
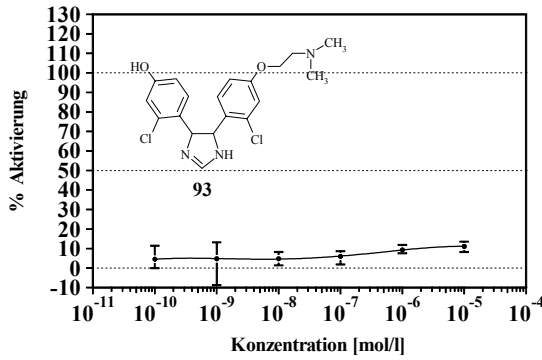
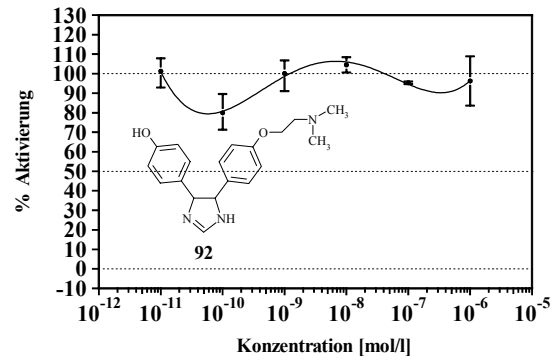
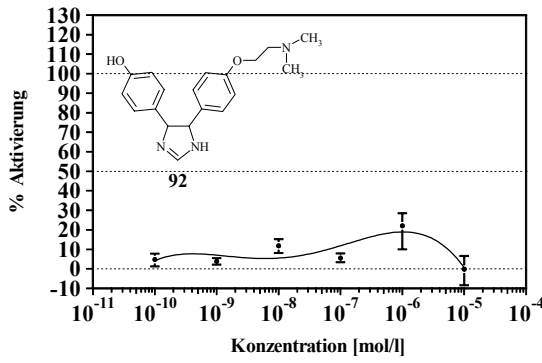


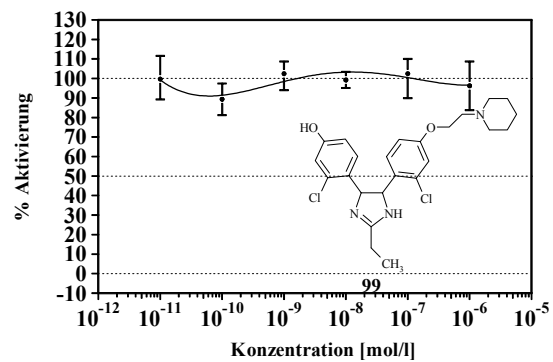
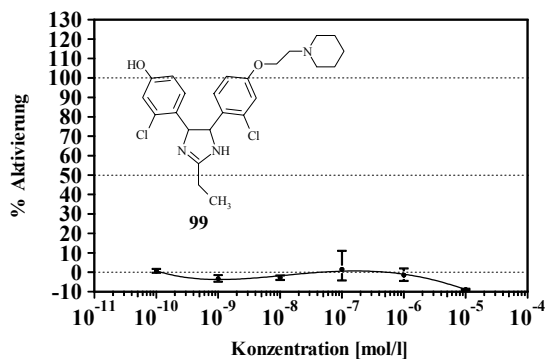
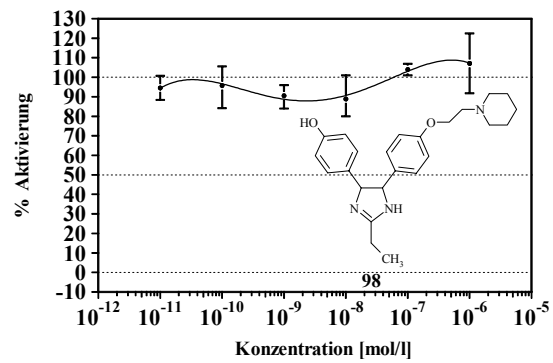
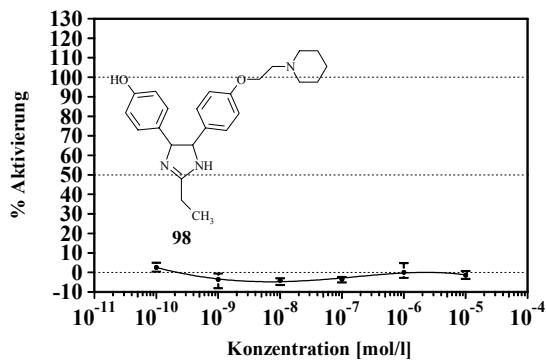
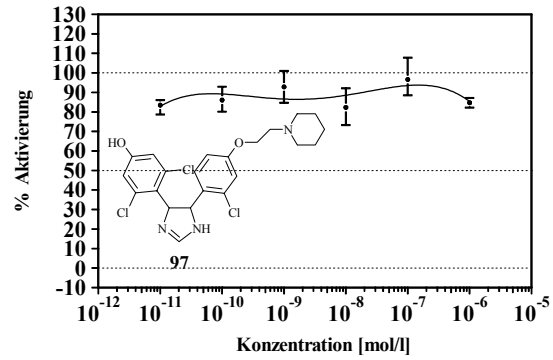
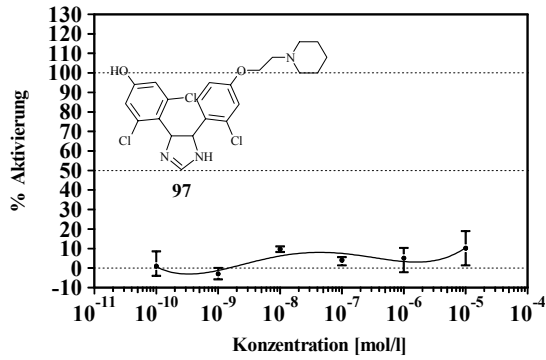
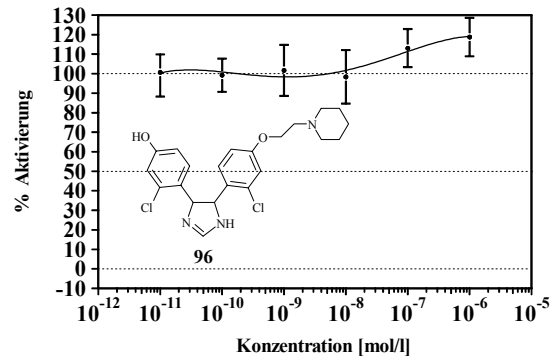
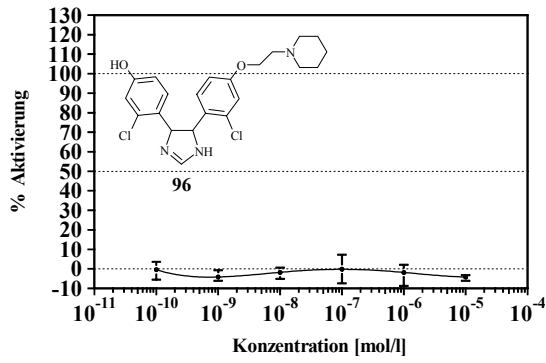


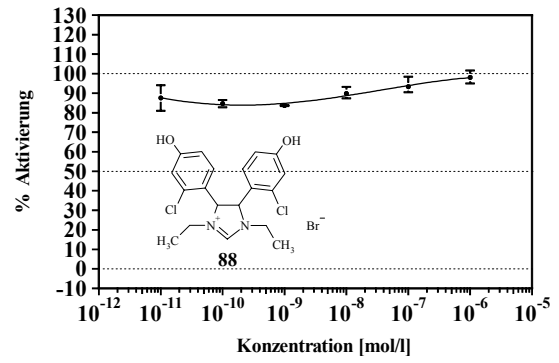
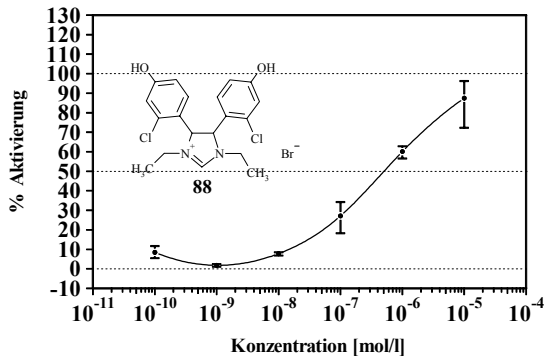




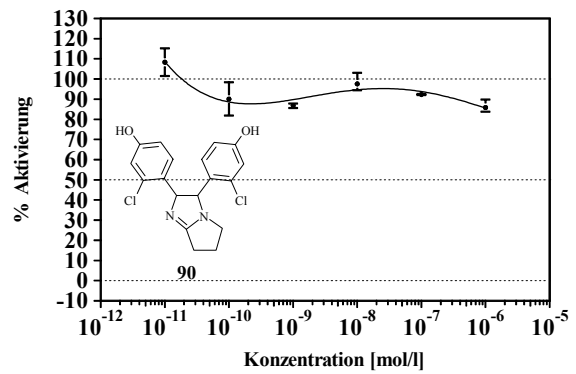
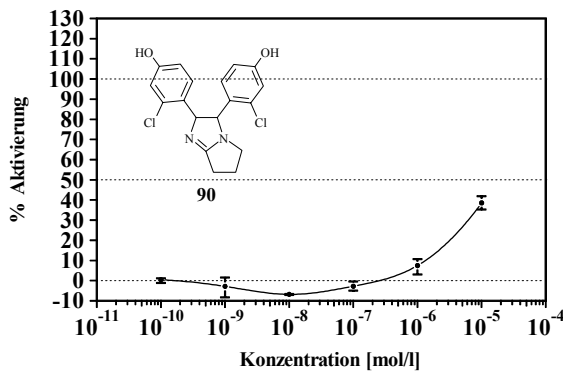
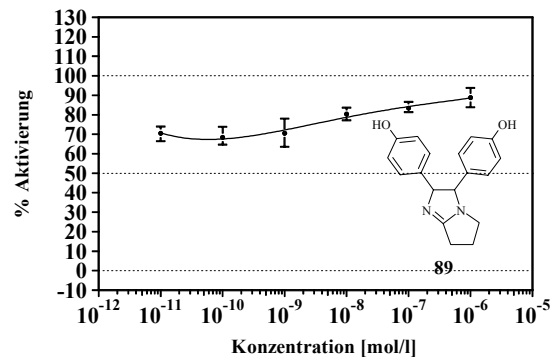
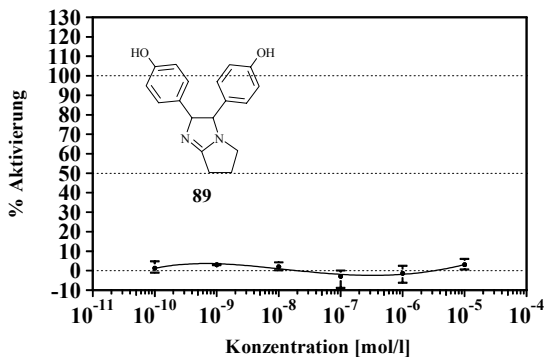


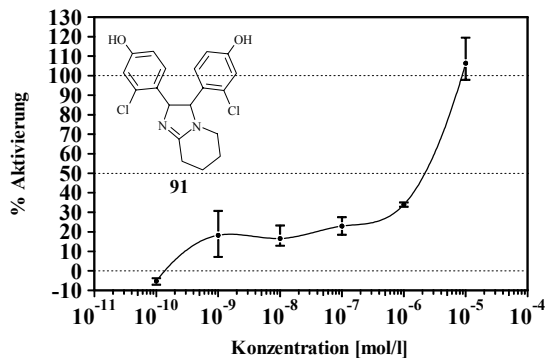






9.2.3 2,3-Diaryltetrahydropyrroloimidazole und 2,3-Diarylhexahydroimidazopyridine

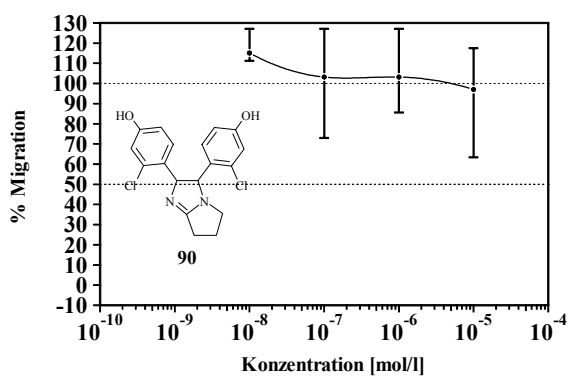
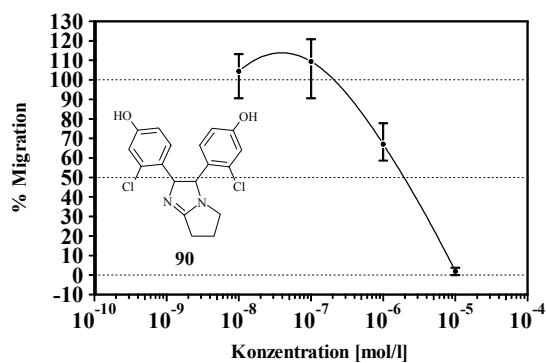
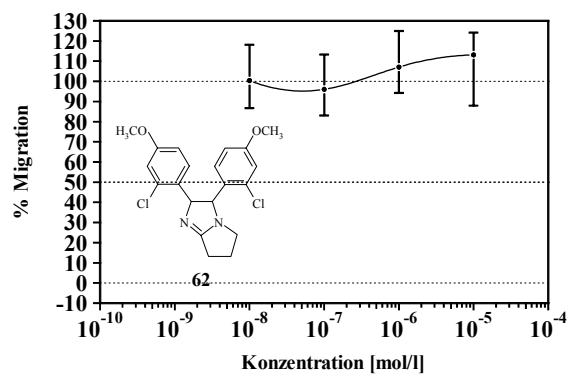
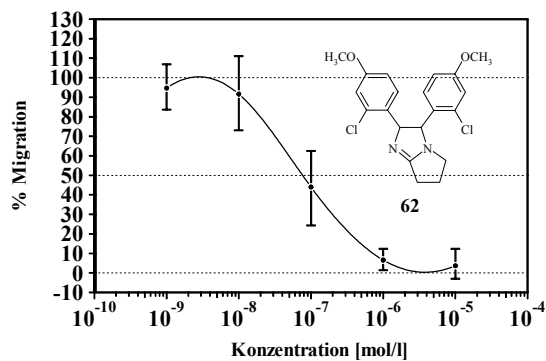




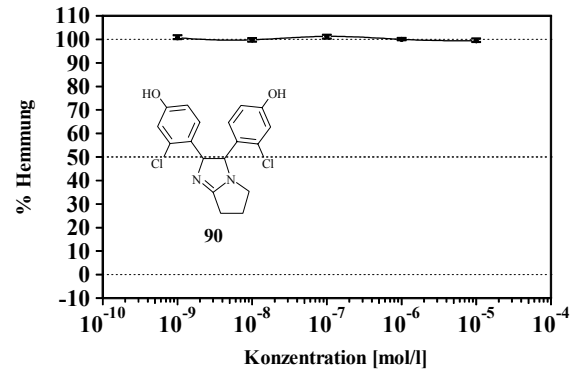
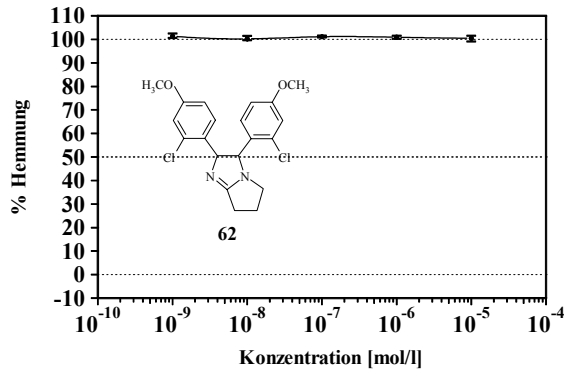
9.3 Untersuchungen an der TGF- β -Signalkaskade

9.3.1 Konzentrations-Wirkungskurven der Verbindungen im - Migrations-Assay

Links sind die Konzentrations-Wirkungskurven der Stimulation mit 2 ng/ml TGF- β abgebildet; rechts die Konzentrations-Wirkungskurven der Stimulation mit 10 % FCS.



9.3.2 Konzentrations-Wirkungskurven der Verbindungen der - Hemmung des Thymidineinbaus



9.3.3 Konzentrations-Wirkungskurven der Verbindungen im MTT- Test

